

# Starkniederschlagshöhen und -spenden gemäß KOSTRA-DWD-2020

## Rasterfeld 120135

(Zeile 120, Spalte 135)

### Regenspende und Bemessungsniederschlagswerte in Abhängigkeit von Wiederkehrzeit T und Dauerstufe D

| Dauerstufe D |     | Wiederkehrzeit T |            |      |            |      |            |      |            |       |            |       |            |       |            |       |            |       |            |
|--------------|-----|------------------|------------|------|------------|------|------------|------|------------|-------|------------|-------|------------|-------|------------|-------|------------|-------|------------|
|              |     | 1 a              |            | 2 a  |            | 3 a  |            | 5 a  |            | 10 a  |            | 20 a  |            | 30 a  |            | 50 a  |            | 100 a |            |
| min          | Std | mm               | l / (s ha) | mm   | l / (s ha) | mm   | l / (s ha) | mm   | l / (s ha) | mm    | l / (s ha) | mm    | l / (s ha) | mm    | l / (s ha) | mm    | l / (s ha) | mm    | l / (s ha) |
| 5            |     | 6,9              | 230,0      | 8,5  | 283,3      | 9,5  | 316,7      | 10,7 | 356,7      | 12,6  | 420,0      | 14,6  | 486,7      | 15,8  | 526,7      | 17,5  | 583,3      | 19,8  | 660,0      |
| 10           |     | 9,0              | 150,0      | 11,1 | 185,0      | 12,4 | 206,7      | 14,1 | 235,0      | 16,5  | 275,0      | 19,0  | 316,7      | 20,7  | 345,0      | 22,8  | 380,0      | 25,9  | 431,7      |
| 15           |     | 10,3             | 114,4      | 12,7 | 141,1      | 14,1 | 156,7      | 16,1 | 178,9      | 18,9  | 210,0      | 21,8  | 242,2      | 23,7  | 263,3      | 26,1  | 290,0      | 29,7  | 330,0      |
| 20           |     | 11,2             | 93,3       | 13,9 | 115,8      | 15,5 | 129,2      | 17,6 | 146,7      | 20,7  | 172,5      | 23,8  | 198,3      | 25,9  | 215,8      | 28,6  | 238,3      | 32,5  | 270,8      |
| 30           |     | 12,7             | 70,6       | 15,6 | 86,7       | 17,4 | 96,7       | 19,8 | 110,0      | 23,3  | 129,4      | 26,8  | 148,9      | 29,2  | 162,2      | 32,2  | 178,9      | 36,6  | 203,3      |
| 45           |     | 14,2             | 52,6       | 17,5 | 64,8       | 19,5 | 72,2       | 22,2 | 82,2       | 26,1  | 96,7       | 30,0  | 111,1      | 32,7  | 121,1      | 36,1  | 133,7      | 41,0  | 151,9      |
| 60           | 1   | 15,3             | 42,5       | 18,9 | 52,5       | 21,1 | 58,6       | 24,0 | 66,7       | 28,2  | 78,3       | 32,5  | 90,3       | 35,3  | 98,1       | 39,0  | 108,3      | 44,3  | 123,1      |
| 90           | 1,5 | 17,1             | 31,7       | 21,0 | 38,9       | 23,5 | 43,5       | 26,7 | 49,4       | 31,4  | 58,1       | 36,2  | 67,0       | 39,3  | 72,8       | 43,4  | 80,4       | 49,3  | 91,3       |
| 120          | 2   | 18,4             | 25,6       | 22,7 | 31,5       | 25,3 | 35,1       | 28,8 | 40,0       | 33,8  | 46,9       | 39,0  | 54,2       | 42,3  | 58,8       | 46,8  | 65,0       | 53,1  | 73,8       |
| 180          | 3   | 20,4             | 18,9       | 25,1 | 23,2       | 28,1 | 26,0       | 31,9 | 29,5       | 37,5  | 34,7       | 43,2  | 40,0       | 47,0  | 43,5       | 51,9  | 48,1       | 58,9  | 54,5       |
| 240          | 4   | 21,9             | 15,2       | 27,0 | 18,8       | 30,2 | 21,0       | 34,3 | 23,8       | 40,3  | 28,0       | 46,5  | 32,3       | 50,5  | 35,1       | 55,8  | 38,8       | 63,4  | 44,0       |
| 360          | 6   | 24,3             | 11,3       | 30,0 | 13,9       | 33,5 | 15,5       | 38,0 | 17,6       | 44,7  | 20,7       | 51,5  | 23,8       | 56,0  | 25,9       | 61,8  | 28,6       | 70,2  | 32,5       |
| 540          | 9   | 26,9             | 8,3        | 33,2 | 10,2       | 37,0 | 11,4       | 42,1 | 13,0       | 49,5  | 15,3       | 57,0  | 17,6       | 62,0  | 19,1       | 68,5  | 21,1       | 77,8  | 24,0       |
| 720          | 12  | 28,9             | 6,7        | 35,6 | 8,2        | 39,8 | 9,2        | 45,3 | 10,5       | 53,1  | 12,3       | 61,3  | 14,2       | 66,6  | 15,4       | 73,6  | 17,0       | 83,6  | 19,4       |
| 1080         | 18  | 32,0             | 4,9        | 39,4 | 6,1        | 44,0 | 6,8        | 50,1 | 7,7        | 58,8  | 9,1        | 67,8  | 10,5       | 73,7  | 11,4       | 81,4  | 12,6       | 92,5  | 14,3       |
| 1440         | 24  | 34,4             | 4,0        | 42,4 | 4,9        | 47,3 | 5,5        | 53,8 | 6,2        | 63,2  | 7,3        | 72,8  | 8,4        | 79,2  | 9,2        | 87,5  | 10,1       | 99,3  | 11,5       |
| 2880         | 48  | 40,8             | 2,4        | 50,3 | 2,9        | 56,2 | 3,3        | 63,9 | 3,7        | 75,1  | 4,3        | 86,6  | 5,0        | 94,1  | 5,4        | 103,9 | 6,0        | 118,0 | 6,8        |
| 4320         | 72  | 45,2             | 1,7        | 55,7 | 2,1        | 62,2 | 2,4        | 70,7 | 2,7        | 83,0  | 3,2        | 95,7  | 3,7        | 104,1 | 4,0        | 114,9 | 4,4        | 130,6 | 5,0        |
| 5760         | 96  | 48,5             | 1,4        | 59,8 | 1,7        | 66,8 | 1,9        | 76,0 | 2,2        | 89,2  | 2,6        | 102,8 | 3,0        | 111,8 | 3,2        | 123,5 | 3,6        | 140,2 | 4,1        |
| 7200         | 120 | 51,3             | 1,2        | 63,2 | 1,5        | 70,6 | 1,6        | 80,3 | 1,9        | 94,3  | 2,2        | 108,7 | 2,5        | 118,1 | 2,7        | 130,5 | 3,0        | 148,2 | 3,4        |
| 8640         | 144 | 53,7             | 1,0        | 66,1 | 1,3        | 73,9 | 1,4        | 84,0 | 1,6        | 98,6  | 1,9        | 113,7 | 2,2        | 123,6 | 2,4        | 136,5 | 2,6        | 155,1 | 3,0        |
| 10080        | 168 | 55,8             | 0,9        | 68,7 | 1,1        | 76,8 | 1,3        | 87,3 | 1,4        | 102,5 | 1,7        | 118,2 | 2,0        | 128,4 | 2,1        | 141,9 | 2,3        | 161,1 | 2,7        |

# Starkniederschlagshöhen und -spenden gemäß KOSTRA-DWD-2020

## Rasterfeld 120135

(Zeile 120, Spalte 135)

### Örtliche Unsicherheiten in Abhängigkeit von Wiederkehrzeit T und Dauerstufe D

| Dauerstufe D |     | Wiederkehrzeit T |     |     |     |      |      |      |      |       |
|--------------|-----|------------------|-----|-----|-----|------|------|------|------|-------|
|              |     | 1 a              | 2 a | 3 a | 5 a | 10 a | 20 a | 30 a | 50 a | 100 a |
| min          | Std | ± %              | ± % | ± % | ± % | ± %  | ± %  | ± %  | ± %  | ± %   |
| 5            |     | 14               | 16  | 16  | 17  | 18   | 19   | 19   | 20   | 20    |
| 10           |     | 17               | 19  | 20  | 21  | 22   | 23   | 23   | 23   | 24    |
| 15           |     | 18               | 20  | 21  | 22  | 23   | 24   | 25   | 25   | 26    |
| 20           |     | 19               | 21  | 22  | 23  | 24   | 25   | 25   | 26   | 27    |
| 30           |     | 19               | 21  | 22  | 23  | 25   | 25   | 26   | 27   | 27    |
| 45           |     | 19               | 21  | 22  | 23  | 24   | 25   | 26   | 26   | 27    |
| 60           | 1   | 18               | 20  | 21  | 23  | 24   | 25   | 25   | 26   | 27    |
| 90           | 1,5 | 17               | 19  | 21  | 22  | 23   | 24   | 24   | 25   | 26    |
| 120          | 2   | 16               | 19  | 20  | 21  | 22   | 23   | 23   | 24   | 25    |
| 180          | 3   | 15               | 17  | 18  | 20  | 21   | 22   | 22   | 23   | 23    |
| 240          | 4   | 15               | 17  | 18  | 19  | 20   | 21   | 21   | 22   | 22    |
| 360          | 6   | 14               | 16  | 16  | 17  | 19   | 19   | 20   | 21   | 21    |
| 540          | 9   | 13               | 15  | 16  | 17  | 18   | 18   | 19   | 19   | 20    |
| 720          | 12  | 13               | 14  | 15  | 16  | 17   | 18   | 18   | 19   | 19    |
| 1080         | 18  | 13               | 14  | 15  | 16  | 16   | 17   | 17   | 18   | 18    |
| 1440         | 24  | 14               | 15  | 15  | 16  | 16   | 17   | 17   | 18   | 18    |
| 2880         | 48  | 16               | 16  | 16  | 16  | 17   | 17   | 17   | 18   | 18    |
| 4320         | 72  | 18               | 17  | 17  | 17  | 18   | 18   | 18   | 18   | 18    |
| 5760         | 96  | 19               | 19  | 18  | 18  | 18   | 19   | 19   | 19   | 19    |
| 7200         | 120 | 20               | 20  | 19  | 19  | 19   | 19   | 19   | 19   | 20    |
| 8640         | 144 | 21               | 20  | 20  | 20  | 20   | 20   | 20   | 20   | 20    |
| 10080        | 168 | 22               | 21  | 21  | 21  | 20   | 20   | 20   | 20   | 21    |

### Parameter für abweichende T und D

#### Lokationsparameter $\xi$ (Xi)

15,63557712

#### Skalenparameter $\alpha$ (Alpha)

5,05481666

#### Formparameter $\kappa$ (Kappa)

-0,1

#### 1. Koutsoyiannis-Parameter $\theta$ (Theta)

0,02619368

#### 2. Koutsoyiannis-Parameter $\eta$ (Eta)

0,75171152

Parameter für dauerstufenübergreifende Extremwertschätzung nach KOUTSOYIANNIS et al. 1998.

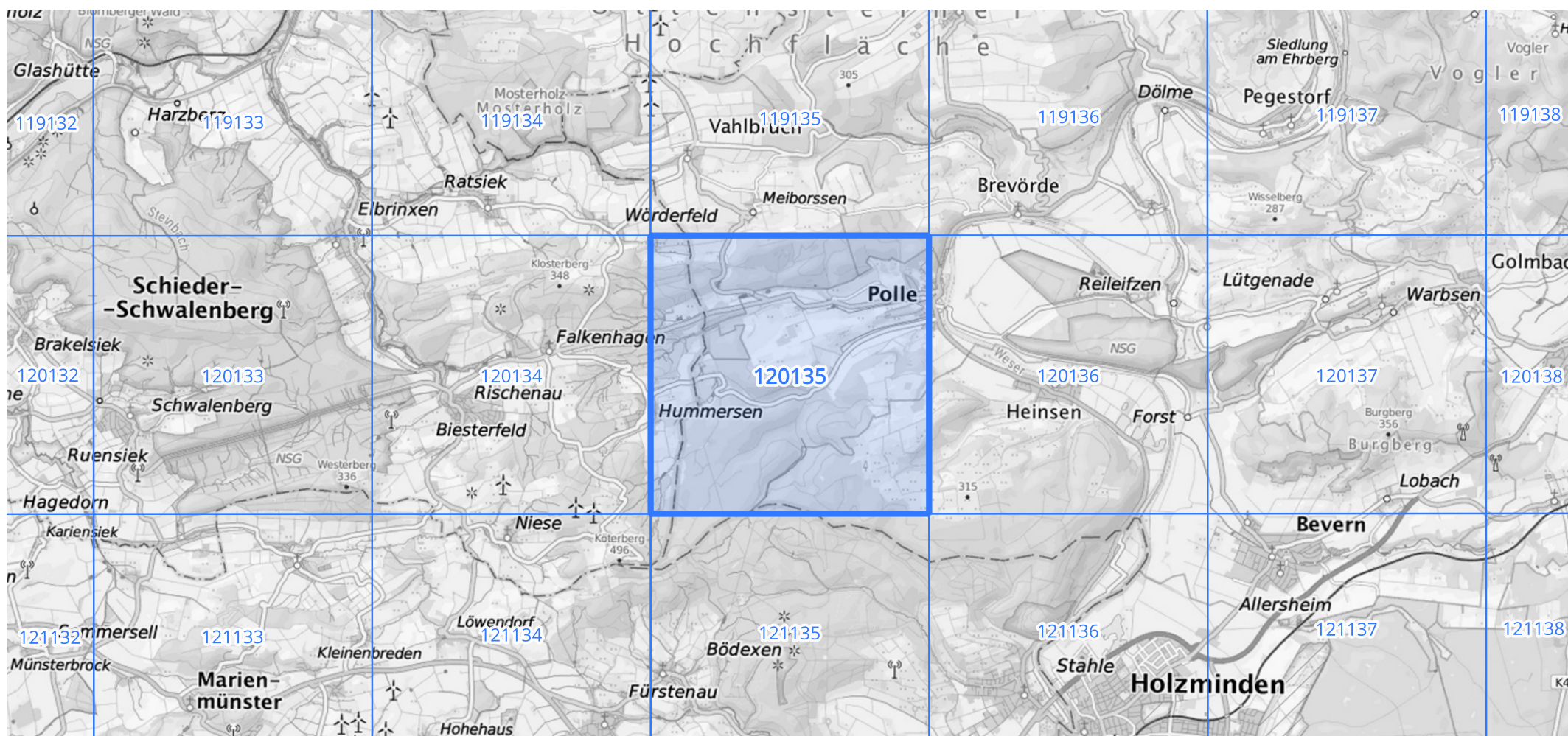
Siehe auch Anwendungshilfe zu KOSTRA-DWD-2020 des Deutschen Wetterdienstes.

## Starkniederschlagshöhen und -spenden gemäß KOSTRA-DWD-2020

## Rasterfeld 120135

(Zeile 120, Spalte 135)

## Übersichtskarte des Rasterfeldes 120135, M 1 : 100 000



Quelle Rasterdaten: KOSTRA-DWD-2020 des Deutschen Wetterdienstes, Stand 12/2022.

Seite 3 von 3

Kartendarstellung: © Bundesamt für Kartographie und Geodäsie (2023), Datenquellen: [https://sgx.geodatenzentrum.de/web\\_public/gdz/datenquellen/Datenquellen\\_TopPlusOpen.html](https://sgx.geodatenzentrum.de/web_public/gdz/datenquellen/Datenquellen_TopPlusOpen.html)

Für die Richtigkeit und Aktualität der Angaben wird keine Gewähr übernommen. Erstellt 01/2023.